

УДК 539.4

## ОПРЕДЕЛЯЮЩИЕ УРАВНЕНИЯ ДЛЯ ДВУХЭТАПНЫХ ТЕРМОУПРУГИХ ФАЗОВЫХ ПРЕВРАЩЕНИЙ

А. А. Мовчан, П. В. Шелымагин\*, С. А. Казарина

Московский государственный авиационный институт, 125871 Москва

\*Институт прикладной механики РАН, 117334 Москва

На основе экспериментальных данных сформулирован ряд гипотез о механическом поведении сплавов с памятью формы типа никелида титана при двухэтапных (мартенситных и ромбоэдрических) фазовых превращениях. Предложена система соотношений, связывающих напряжения, деформации, температуру и параметры фазового состава при таких переходах.

Как известно, в никелиде титана кроме термоупругого фазового перехода в мартенситное состояние с моноклинной кристаллической решеткой, обозначаемой  $B19'$  (далее М-переход), может наблюдаться переход из аустенитной фазы с объемно-центрированной кубической решеткой  $B2$  в ромбоэдрическую фазу  $R$  и обратно (далее  $R$ -превращение).

Экспериментальные данные о механическом поведении материалов при  $R$ -переходе, а также при двухэтапном  $R$ - и  $M$ -превращении приведены в работах [1–11] и др. Имеющиеся выводы, сделанные на их основе, противоречивы. Так, в [7] на основе экспериментальных данных сделан парадоксальный вывод о том, что максимальная деформация, генерируемая при прямом  $R$ -превращении, убывает с ростом приложенных напряжений. В то же время согласно данным [9, 10] деформация полного прямого  $R$ -превращения возрастает с ростом приложенных напряжений. По данным работы [9], обратное превращение является одноэтапным, по данным [10], — двухэтапным, а по данным [7], — двухэтапным для обратного превращения из двухфазного состояния и одноэтапным в противном случае.

В настоящей работе на основе анализа экспериментальных данных сформулирован ряд упрощающих предположений о двухэтапных фазовых превращениях в никелиде титана. Предложена система определяющих соотношений, связывающих параметры фазового состава, температуру, напряжения и деформации в таких процессах.

**1. Качественное описание двухэтапного фазового превращения.** Анализ экспериментальных данных позволяет предложить модель двухэтапного фазового превращения в никелиде титана, основанную на следующих гипотезах.

Под прямым и обратным фазовыми превращениями понимаются такие, при которых степень симметрии кристаллической решетки соответственно снижается или повышается. Таким образом, переходы  $B2 \rightarrow R$ ,  $B2 \rightarrow B19'$ ,  $R \rightarrow B19'$  являются прямыми, а  $B19' \rightarrow R$ ,  $B19' \rightarrow B2$ ,  $R \rightarrow B2$  — обратными. Переходы из одной и той же фазы в различные конечные состояния можно сравнивать по степени симметрии кристаллической решетки. Так, переход  $B2 \rightarrow B19'$  изменяет симметрию сильнее, чем  $B2 \rightarrow R$ , а  $B19' \rightarrow B2$  — сильнее, чем  $R \rightarrow B2$ .

1. Для прямого превращения приняты следующие предположения:

1.1. Температурно-силовые условия начала и завершения образования некоторой новой фазы не зависят от того, из какой структуры эта фаза образуется.

1.2. Если одновременно возможны два прямых фазовых перехода из одного и того же исходного состояния, различающихся конечным продуктом, то осуществляется тот из них, который сильнее меняет симметрию кристаллической решетки.

1.3. Если одновременно происходит фазовый переход из двух различных структур в одну, то в процессе такого перехода соотношение между параметрами этих структур остается постоянным.

2. Для обратного превращения приняты следующие предположения:

2.1. Существуют единые зависимости температуры начала и окончания перехода из некоторой исходной фазы от напряжений независимо от того, в какую структуру происходит переход.

2.2. Если температурно-силовые условия позволяют осуществить обратное превращение из одной фазы в две различные структуры, фазовый переход между которыми в данных условиях невозможен, то осуществляется преобразование, которое меньше меняет симметрию кристалла.

2.3. Если одновременно возможно обратное фазовое превращение из низкосимметричной фазы в промежуточную и из промежуточной в более симметричную, то промежуточное превращение в определяющих уравнениях можно не учитывать, считая, что сразу осуществляется переход как первой, так и второй фаз в последнюю.

Гипотезы 1.1, 1.2, 2.1, 2.2 основаны на анализе экспериментальных данных [1–11]. Предположения 1.3, 2.3 приняты для упрощения определяющих соотношений.

В соответствии с предположениями 1.1, 2.1 существует восемь характерных температур фазовых переходов:  $R_s^+$ ,  $R_f^+$  — температуры начала и окончания образования ромбоэдрической фазы при прямом превращении;  $M_s^+$ ,  $M_f^+$  — температуры начала и окончания образования мартенситной фазы при прямом превращении (не зависящие от того, из какой фазы (аустенитной или ромбоэдрической) образуется мартенситная фаза);  $M_s^-$ ,  $M_f^-$  — температуры начала и окончания перехода из мартенситной фазы при обратном превращении (не зависящие от того, в какую фазу (ромбоэдрическую или аустенитную) происходит переход);  $R_s^-$ ,  $R_f^-$  — температуры начала и окончания перехода из ромбоэдрической фазы при обратном превращении.

Обычно при описании двухэтапных термоупругих превращений как для прямых, так и для обратных переходов вводят температуры начала и окончания образования конечных продуктов реакции. Таким образом, построить непротиворечивую модель в рамках линейных зависимостей температур перехода от напряжений не удастся. Действительно, для небольших напряжений аустенитная фаза при обратном превращении образуется из ромбоэдрической. Поэтому в данной области линии начала и конца образования аустенитной фазы должны соответствовать линиям начала и конца образования ромбоэдрической фазы при прямом превращении. В то же время для высоких напряжений аустенитная фаза образуется при обратном превращении из мартенситной. Эти линии должны соответствовать прямым начала и завершения образования мартенситной фазы при прямом превращении. Поэтому линии начала и окончания образования аустенитной фазы при обратном превращении должны иметь излом, причем угол наклона линий в точке излома увеличивается примерно в три раза.

Принципиальным отличием предлагаемой системы характерных температур от общепринятых является то, что для обратного превращения вводятся не температуры образования конечного продукта, а температуры исчезновения исходной структуры. Линии исчезновения ромбоэдрической (мартенситной) фазы при обратном превращении соответ-

ствуют линиям образования ромбоэдрической (мартенситной) фазы при прямом превращении. Поэтому при переходе от низких напряжений к высоким эти линии не имеют изломов.

**2. Определяющие уравнения изменения фазового состава.** В дальнейшем в соответствии с [9] предполагается, что температуры перехода являются линейными функциями интенсивности напряжений  $\sigma_i$ :

$$\begin{aligned} R_s^+ &= R_s^{0+} + k_R^+ \sigma_i, & R_f^+ &= R_f^{0+} + k_R^+ \sigma_i, & R_s^- &= R_s^{0-} + k_R^- \sigma_i, & R_f^- &= R_f^{0-} + k_R^- \sigma_i, \\ M_s^+ &= M_s^{0+} + k_M^+ \sigma_i, & M_f^+ &= M_f^{0+} + k_M^+ \sigma_i, & M_s^- &= M_s^{0-} + k_M^- \sigma_i, & M_f^- &= M_f^{0-} + k_M^- \sigma_i, \end{aligned} \quad (2.1)$$

$$k_R^- \approx k_R^+ = k_R, \quad k_M^- \approx k_M^+ = k_M, \quad k_M \approx 3k_R.$$

Влияние первого и третьего инвариантов тензора напряжений на температуры перехода в данной работе для простоты не учитывается.

Для никелида титана, в котором содержание никеля на 0,2 % превышает его содержание в равноатомном составе, согласно экспериментальным данным [9]

$$\begin{aligned} R_s^{0+} &= 46 \text{ }^\circ\text{C}, & R_f^{0+} &= 38 \text{ }^\circ\text{C}, & R_s^{0-} &= 42 \text{ }^\circ\text{C}, & R_f^{0-} &= 50 \text{ }^\circ\text{C}, \\ M_s^{0+} &= 5 \text{ }^\circ\text{C}, & M_f^{0+} &= -30 \text{ }^\circ\text{C}, & M_s^{0-} &= 35 \text{ }^\circ\text{C}, & M_f^{0-} &= 45 \text{ }^\circ\text{C}, \\ k_R &= 0,073, & k_M &= 0,264. \end{aligned} \quad (2.2)$$

Вводятся три внутренние переменные состояния  $q_M$ ,  $q_A$ ,  $q_R$ , которые можно интерпретировать как объемные доли мартенситной и аустенитной фаз и степень завершенности R-преобразования. Последняя величина считается нормированной:

$$q_A + q_R + q_M = 1. \quad (2.3)$$

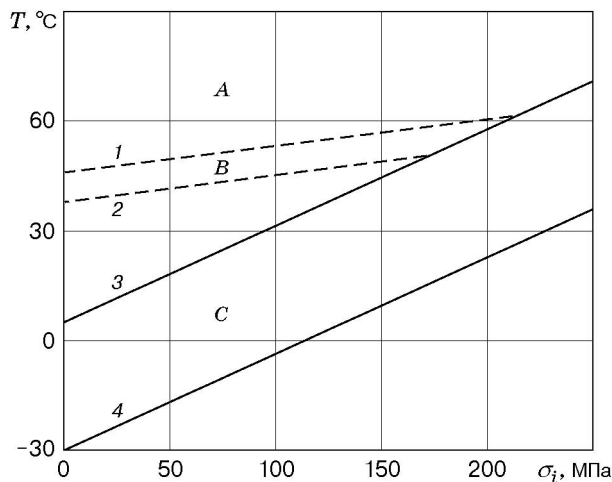


Рис. 1

На рис. 1 в координатах  $\sigma_i$ – $T$  изображены соответствующие зависимостям (2.1) и данным (2.2) линии начала и окончания прямых превращений (штриховые прямые соответствуют ромбоэдрическому превращению, сплошные — мартенситному). В области A (рис. 1) прямых фазовых переходов не происходит. Пусть область B представляет собой часть ромбоэдрической полосы между прямыми 1 ( $T = R_s^+(\sigma)$ ) и 2 ( $T = R_f^+(\sigma)$ ), не принадлежащей мартенситной полосе C, лежащей между прямыми 3 ( $T = M_s^+(\sigma)$ ) и 4 ( $T = M_f^+(\sigma)$ ). Условиями осуществления прямого ромбоэдрического превращения

являются следующие: 1) наличие в материале аустенитной фазы; 2) изображающая точка должна находиться в области B; 3) при ее движении должно выполняться неравенство

$$k_R d\sigma_i > dT. \quad (2.4)$$

Степень завершенности ромбоэдрического преобразования меняется в соответствии с зависимостью

$$q_R = 1 - (1 - q_R^0)(1 - f(R_s^+, R_f^+, T)), \quad (2.5)$$

где  $q_R^0$  — значение  $q_R$  при пересечении изображающей точкой левой (верхней) границы ромбоэдрической полосы. Если рассматриваемый этап ромбоэдрического превращения начинается из точки, находящейся внутри ромбоэдрической полосы, то в качестве первого аргумента функции  $f$  (2.5) вместо  $R_s^+$  необходимо использовать температуру  $T_s^+$ , начиная с которой для рассматриваемого процесса выполняется условие (2.4), а в качестве  $q_R^0$  — значение  $q_R$  при этой температуре. В основе формулы (2.5) лежит предположение о подобии кривых прямого превращения при изменении температуры в неполных интервалах температур фазовых переходов относительно точки окончания прямого превращения [12–14].

В соответствии с [14] в качестве функции  $f$  можно взять функцию

$$f(T_1, T_2, T) = \sin\left(\frac{\pi}{2} \frac{T_1 - T}{T_1 - T_2}\right). \quad (2.6)$$

Из результатов экспериментов [2, 3, 7, 9, 10] следует, что изменение параметров фазового состава удовлетворительно коррелирует с изменением относительной величины электрического сопротивления, зависимость которого от температуры может быть описана формулами типа (2.6).

Поскольку в ромбоэдрическую фазу при прямом превращении может переходить только аустенитная фаза, в рассматриваемом процессе доля мартенситной фазы имеет постоянное значение  $q_M = q_M^0$ , а доля аустенитной фазы в силу (2.3) определяется из соотношения

$$q_A = 1 - q_R - q_M^0. \quad (2.7)$$

Если  $q_M^0 \neq 0$ , то изменение  $q_R$  в соответствии с (2.5) продолжается не до пересечения с правой (нижней) границей ромбоэдрической полосы, а до тех пор, пока величина  $q_A$ , вычисляемая в соответствии с (2.7), не станет равной нулю. После этого до начала мартенситного превращения фазовые переходы прекращаются. Прямое ромбоэдрическое превращение также прекращается, не завершившись, если изображающая точка попадает в общую часть мартенситной и ромбоэдрической полос, что соответствует предположению 1.2.

Достаточным условием осуществления прямого мартенситного превращения является наличие в материале аустенитной или ромбоэдрической фазы, нахождение изображающей точки в мартенситной полосе и выполнение при ее движении неравенства для приращений

$$k_M d\sigma_i > dT. \quad (2.8)$$

Рост доли мартенситной фазы подчиняется зависимости

$$q_M = 1 - (1 - q_M^0)(1 - f(M_s^+, M_f^+, T)), \quad (2.9)$$

где  $q_M^0$  — значение  $q_M$  при пересечении изображающей точкой левой (верхней) границы мартенситной полосы. Если рассматриваемый этап прямого превращения начинается из точки, расположенной внутри мартенситной полосы, то вместо  $M_s^+$  в качестве первого аргумента функции  $f$  (2.9) нужно взять температуру  $T_s^+$ , начиная с которой в рассматриваемом процессе выполняется условие (2.8).

В процессе прямого превращения в мартенситную фазу могут переходить как аустенитная, так и ромбоэдрическая фазы. Пусть в момент начала прямого мартенситного превращения  $q_R = q_R^0$ ,  $q_A = q_A^0$ . В силу предположения 1.3 при рассматриваемом переходе соотношение между параметрами исходных фаз сохраняется:

$$q_R/q_A = q_R^0/q_A^0. \quad (2.10)$$

Кроме того,

$$q_R + q_A = 1 - q_M. \quad (2.11)$$

Решая систему (2.10), (2.11) и учитывая, что  $q_R^0 + q_A^0 = 1 - q_M^0$ , а также формулу (2.9), получим

$$q_R = q_R^0(1 - f_1(M_s^+, M_f^+, T)), \quad q_A = q_A^0(1 - f_1(M_s^+, M_f^+, T)). \quad (2.12)$$

Соотношения (2.5), (2.9), (2.12) определяют изменение фазового состава при прямом двухэтапном превращении.

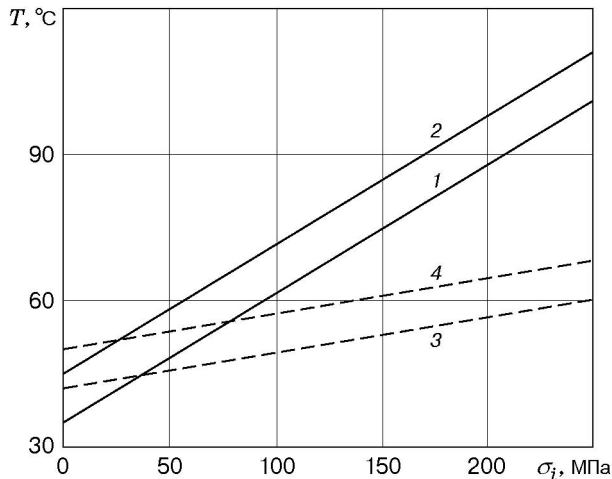


Рис. 2

и 4 ( $T = R_f^-(\sigma_i)$ ) (рис. 2) и выполнение неравенства, обратного (2.4).

Уменьшение параметра исходной фазы при обратном превращении определяется зависимостями

$$q_M = q_M^0 f(M_f^-, M_s^-, T); \quad (2.13)$$

$$q_R = q_R^0 f(R_f^-, R_s^-, T). \quad (2.14)$$

Если уменьшение параметра мартенситной или ромбоэдрической фазы начинается внутри соответствующей полосы, то в качестве первого аргумента функции  $f$  (2.13) или (2.14) необходимо взять температуру  $T_s^-$ , при которой впервые выполняются неравенства для приращений, что соответствует началу обратного превращения. В (2.13), (2.14)  $q_M^0$  или  $q_R^0$  — значения соответствующего параметра в момент начала рассматриваемого этапа обратного превращения. Формулы (2.13), (2.14) получены на основе предположения о подобии кривых обратного превращения при изменении температуры в неполных интервалах температур превращений относительно точки окончания обратного превращения [13, 14].

Следует отметить, что при нагреве и одновременном возрастании интенсивности напряжений в силу того, что  $k_M > k_R$ , возможна ситуация, когда для мартенситного превращения выполнены условия прямого перехода (2.8), а для ромбоэдрического — условия обратного перехода. Возможна ситуация, когда при охлаждении и убывании интенсивности напряжений одновременно могут происходить обратное мартенситное превращение и прямое ромбоэдрическое. Однако в данной работе такие случаи не рассматриваются.

Формулы (2.13), (2.14) справедливы независимо от того, каков конечный продукт фазового перехода. При пересечении R-полосы в процессе обратного превращения, если одновременно не происходит пересечения M-полосы, ромбоэдрическая фаза может переходить только в аустенитную. Поэтому величина  $q_M$  имеет постоянное значение:  $q_M = q_M^0$ . Величина  $q_R$  уменьшается в соответствии с зависимостью (2.14), при этом  $q_A = 1 - q_R - q_M^0$ . Если происходит пересечение полосы мартенситного преобразования без пересечения полосы

На рис. 2 изображены соответствующие зависимостям (2.1) и данным (2.2) линии, характеризующие обратное превращение (сплошные прямые соответствуют мартенситному превращению, штриховые — ромбоэдрическому). Условием осуществления обратного мартенситного превращения является нахождение изображающей точки в полосе между прямыми 1 ( $T = M_s^-(\sigma)$ ) и 2 ( $T = M_f^-(\sigma)$ ) (рис. 2) и выполнение неравенства, обратного (2.8). Условием осуществления обратного ромбоэдрического превращения является нахождение изображающей точки в полосе между штриховыми прямыми 3 ( $T = R_s^-(\sigma_i)$ )

ромбоэдрического, то конечный продукт зависит от того, выше или ниже ромбоэдрической полосы находится изображающая точка. Если ниже (случай небольших напряжений), то параметр аустенитной фазы будет иметь постоянное значение  $q_A = q_A^0$ , параметр мартенситной фазы будет уменьшаться в соответствии с (2.13), а  $q_R = 1 - q_M - q_A^0$ . Процесс будет описываться данными соотношениями, пока изображающая точка не покинет полосу мартенситного превращения либо пока значение  $q_R$  не станет равным нулю. Если же точка входа в мартенситную полосу находится выше ромбоэдрической полосы, то мартенситная фаза убывает в соответствии с (2.13),  $q_R = 0$ ,  $q_A = 1 - q_M$ .

Если в процессе обратного превращения точка, изображающая состояние материала, при движении пересекает одновременно ромбоэдрическую и мартенситную полосы, то изменение параметров  $q_M$  и  $q_R$  будет определяться формулами (2.13), (2.14), а величина  $q_A$  — соотношением  $q_A = 1 - q_R - q_M$ .

**3. Определяющие уравнения для фазовых деформаций.** Система уравнений, определяющая развитие фазовых деформаций, предлагается в следующем виде:

— при прямом превращении

$$\varepsilon_{ij} = \varepsilon_{ij}^R + \varepsilon_{ij}^M, \quad d\varepsilon_{ij}^R = c_0^R \sigma'_{ij} dq_R, \quad d\varepsilon_{ij}^M = (\beta \delta_{ij} + c_0^M \sigma'_{ij} + a_0^M \varepsilon_{ij}^{MM}) dq_M;$$

— при обратном —

$$d\varepsilon_{ij}^R = \left( \frac{\varepsilon_{0ij}^R}{q_0^R} \right) dq_R, \quad d\varepsilon_{ij}^M = \left( \frac{a_0^M \varepsilon_{0ij}^M}{\exp(a_0^M q_0^M) - 1} + a_0^M \varepsilon_{ij}^M \right) dq_M.$$

Здесь для упрощения при обратных превращениях не учитывается реверсивный эффект памяти формы, а при прямом ромбоэдрическом превращении пренебрегается объемным эффектом реакции, который очень мал;  $\varepsilon_{ij}$ ,  $\varepsilon_{ij}^M$ ,  $\varepsilon_{ij}^R$  — суммарная фазовая деформация и фазовая деформация, связанная с мартенситным и ромбоэдрическим преобразованиями (все фазовые деформации отсчитываются от аустенитного состояния);  $q_0^R$ ,  $\varepsilon_{0ij}^R$  — значения параметра ромбоэдрической фазы и соответствующей фазовой деформации в начальной точке рассматриваемого этапа обратного превращения;  $q_0^M$ ,  $\varepsilon_{0ij}^M$  — аналогичные значения для обратного мартенситного перехода;  $\beta$ ,  $a_0^M$ ,  $c_0^R$ ,  $c_0^M$  — параметры материала. Уравнения для деформации мартенситного превращения получены в [12–14] исходя из микромеханической схемы, моделирующей одновременно происходящие процессы зарождения и развития кристаллов мартенсита в аустенитной матрице. Уравнения для деформации R-превращения записаны по аналогии с учетом того, что деформация полного прямого R-превращения под действием постоянного напряжения пропорциональна величине этого напряжения, а ориентированное превращение [15] для ромбоэдрического перехода проявляется значительно слабее, чем для мартенситного [9]. В случае никелида титана типа ТН-1 для мартенситного превращения [15]  $\beta = 0,00117$ ,  $a_0^M = 0,718$ ,  $c_0^M = 0,000283 \text{ МПа}^{-1}$ , для ромбоэдрического  $c_0^R = 4,5 \cdot 10^{-5} \text{ МПа}^{-1}$  [9].

**4. Применение модели для описания поведения никелида титана.** На рис. 3 приведены рассчитанные по описанным выше уравнениям для температур перехода (2.2), характерных для сплава Ti–Ni (50,2 % Ni), зависимости осевой фазовой деформации  $\varepsilon$  от температуры при прямом и обратном превращениях под действием постоянного одноосного напряжения  $\sigma$ . Пусть  $\sigma_k$  ( $k = 1, 2, \dots, 6$ ) — абсциссы точек пересечения прямых линий на рис. 1, 2:

$$\sigma_1 = \frac{R_f^{0+} - M_s^{0+}}{\Delta k}, \quad \sigma_2 = \frac{R_s^{0+} - M_s^{0+}}{\Delta k}, \quad \sigma_3 = \frac{R_f^{0-} - M_f^{0-}}{\Delta k}, \quad \sigma_4 = \frac{R_f^{0-} - M_s^{0-}}{\Delta k},$$

$$\sigma_5 = \frac{R_s^{0-} - M_s^{0-}}{\Delta k}, \quad \sigma_6 = \frac{R_s^{0-} - M_f^{0-}}{\Delta k}, \quad \Delta k = k_M - k_R.$$

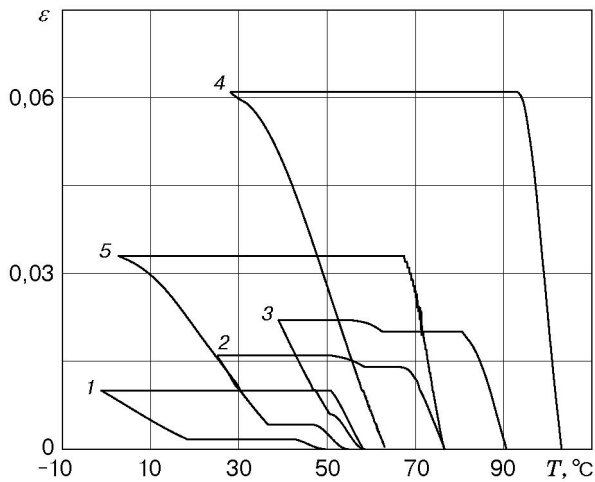


Рис. 3

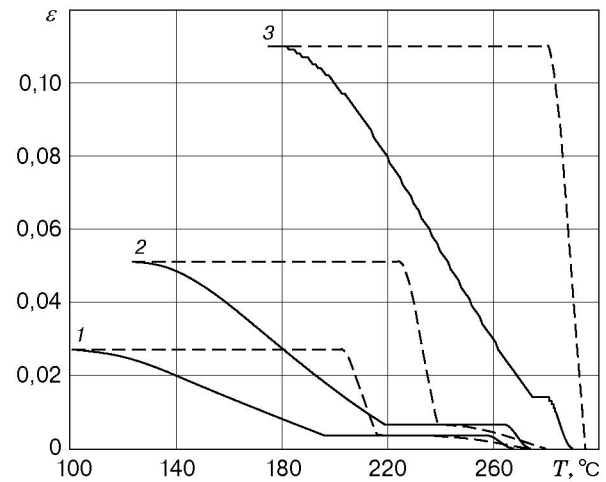


Рис. 4

Для материала с характерными температурами превращений (2.2) выполняются неравенства  $\sigma_6 < \sigma_3 < \sigma_5 < \sigma_4 < \sigma_1 < \sigma_2$ , причем  $\sigma_6 < 0$ .

Для всех петель, изображенных на рис. 3, кроме петли 5, температура окончания процесса охлаждения такова, что в момент начала обратного превращения материал находится в двухфазном состоянии при  $q_R = q_M$ . Для петли 1  $\sigma = 50$  МПа  $< \sigma_4$ . В этом случае (при малых напряжениях) двухэтапным является только прямое превращение, причем наблюдается ярко выраженный безгистерезисный участок. Для петли 2  $\sigma = 120$  МПа ( $\sigma_4 < \sigma < \sigma_1$ ). В данном случае двухэтапными являются как прямое, так и обратное превращения, причем в обоих случаях низкодеформационный участок предшествует высокодеформационному. Для петли 3  $\sigma = \sigma_1 = 172$  МПа, и безгистерезисный участок на кривой прямого превращения вырождается в точку перегиба. Для петли 4  $\sigma = \sigma_2 = 214$  МПа, и одноэтапными являются как прямое, так и обратное превращения, поскольку R-фаза при прямом превращении не образуется. Петля 5 соответствует случаю  $\sigma = 120$  МПа, т. е. такому же значению напряжения, как для петли 2, но прямое превращение привело к полностью мартенситному состоянию, поэтому обратное превращение происходило из однофазного состояния. В этом случае при любых значениях приложенного напряжения обратное превращение будет иметь одноэтапный характер.

Однако для сплавов с более высоким содержанием никеля или с добавками железа возможно двухэтапное обратное превращение и из полностью мартенситного состояния, так как с увеличением содержания никеля или при легировании железом температуры мартенситных переходов резко падают. В результате может оказаться, что  $M_f^{0-} < R_s^{0-}$  и  $\sigma_6 > 0$ . Для небольших напряжений при обратном переходе из полностью мартенситного состояния сначала происходит высокодеформационное превращение  $B19' \rightarrow R$ , затем следует безгистерезисный участок, затем — низкодеформационный переход  $R \rightarrow B2$ .

На рис. 4 изображены петли гистерезиса, полученные при нагреве (сплошные линии) и охлаждении (штриховые) образца из материала с характеристиками  $R_s^{0+} = 260$  К,  $R_f^{0+} = 250$  К,  $M_s^{0+} = 170$  К,  $M_f^{0+} = 70$  К,  $M_s^{0-} = 175$  К,  $M_f^{0-} = 190$  К,  $R_s^{0-} = 225$  К,  $R_f^{0-} = 265$  К,  $k_R = 0,075$ ,  $k_M = 0,262$ , которые согласно [3] соответствуют сплаву  $Ti_{50}Ni_{47}Fe_3$ . Охлаждение производится до полностью мартенситного состояния, т. е. нагрев идет из однофазного состояния. Несмотря на это, в случае действия относительно небольших напряжений  $\sigma = 100$  МПа  $< \sigma_6$  (петля 1) обратное превращение является двухэтапным, этапы разделены безгистерезисным участком, высокодеформационный участок предшествует низкодеформационному. При  $\sigma = 200$  МПа (петля 2) безгистерезисные

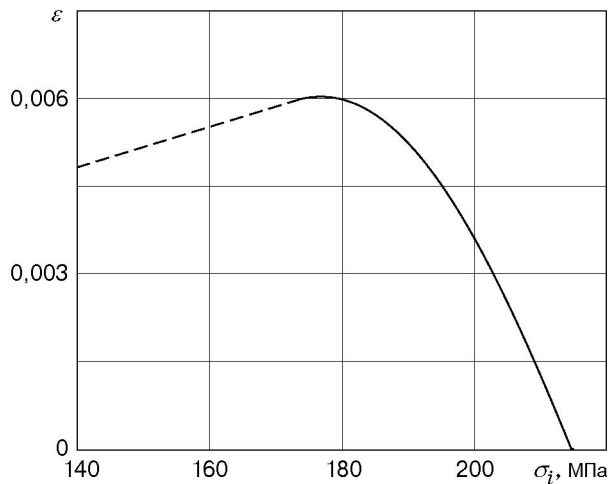


Рис. 5

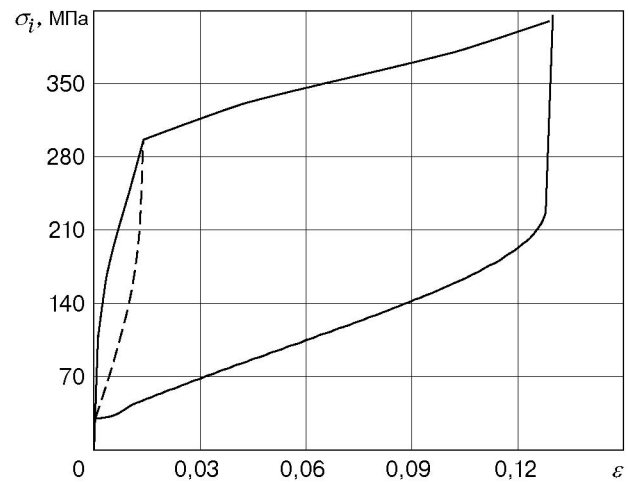


Рис. 6

участки прямого и обратного переходов уменьшаются. Наконец, при  $\sigma = \sigma_6 = 350$  МПа (петля 3) этапы обратного перехода не различаются.

На рис. 5 изображена зависимость фазовой деформации  $\varepsilon$ , накапливаемой на этапе прямого ромбоэдрического превращения под действием постоянного напряжения, от этого напряжения при температурах перехода (2.2). При  $\sigma < \sigma_1 \approx 173$  МПа прямое ромбоэдрическое превращение происходит до полного перехода аустенитной фазы в ромбоэдрическую, и  $\varepsilon$  линейно растет с ростом приложенного напряжения (штриховая прямая на рис. 5). При увеличении напряжений в области  $\sigma_1 < \sigma < \sigma_2$  интервал температур, в котором происходит ромбоэдрическое превращение, и достигнутое в конце этого интервала значение степени завершенности R-преобразования уменьшаются (см. рис. 1), поскольку этот фазовый переход прекращается, не завершившись, и начинается мартенситное превращение. В то же время в связи с увеличением напряжений скорость роста  $\varepsilon$  повышается. В результате  $\varepsilon$  сначала возрастает с ростом напряжений, после чего резко падает до нуля при  $\sigma = \sigma_2 \approx 215$  МПа, поскольку, начиная с этого значения напряжений, ромбоэдрическое превращение не имеет места. Таким образом, предлагаемая модель качественно описывает немонотонное изменение фазовой деформации ромбоэдрического превращения с ростом напряжений [7].

С помощью предлагаемой модели качественно описываются не только явления прямого и обратного превращения под действием постоянного напряжения, но и явления мартенситной и ромбоэдрической неупругости и псевдоупругости при изотермическом активном нагружении из аустенитного состояния. Соответствующие петли гистерезиса, рассчитанные по приведенным выше формулам, изображены на рис. 6 для значений характеристик материала (2.2) и температуры  $T = 130$  °С. Высокое упрочнение и узкая петля соответствуют вызванному напряжениями ромбоэдрическому превращению (разгрузке соответствует штриховая линия), малое упрочнение и широкая петля — мартенситному переходу, что согласуется с экспериментальными данными [2, 3].

## ЛИТЕРАТУРА

1. Хачин В. Н., Гюнтер В. Е., Монасевич Л. А., Паскаль Ю. И. Безгистерезисные эффекты “памяти” в сплавах на основе TiNi // Докл. АН СССР. 1977. Т. 234, № 5. С. 1059–1062.
2. Miyazaki S., Otsuka K. Deformation and transition behavior associated with the R-phase in TiNi alloys // Met. Trans. 1986. V. 17A, N 1. P. 53–63.

3. **Miyazaki S., Otsuka K.** Mechanical behavior associated with the premartensitic rhombohedral — phase transition in a  $\text{Ti}_{50}\text{Ni}_{47}\text{Fe}_3$  alloy // *Philos. Mag. A*. 1984. V. 50, N 3. P. 393–408.
4. **Lin P. H., Tobushi H., Tanaka K., Ikai A.** Deformation properties of TiNi shape memory alloy // *Japan Soc. Mech. Engng Intern. J. Ser. A*. 1996. V. 39, N 1. P. 108–116.
5. **Tobushi H., Kimura K., Sawada T., et al.** Recovery stress associated with R-phase transformation in TiNi shape memory alloy (properties under constant residual strain) // *Japan Soc. Mech. Engng Intern. J. Ser. A*. 1994. V. 37, N 2. P. 138–142.
6. **Tobushi H., Yamada S., Hachisuka T., et al.** Thermomechanical properties due to martensitic and phase R-phase transformations of TiNi shape memory alloy subjected to cyclic loading // *Smart Materials Structure*. 1996. V. 5, N 6. P. 788–795.
7. **Stachowiak G. V., McCormic P. G.** Shape memory behavior associated with the R and martensitic transformations // *Acta Met.* 1988. V. 36, N 2. P. 292–297.
8. **Хачин В. Н., Пушин В. Г., Кондратьев В. В.** Никелид титана: Структура и свойства. М.: Наука, 1992.
9. **Мовчан А. А., Казарина С. А., Мозафари А.** Механические эффекты  $B2 \leftrightarrow R$  превращения в никелиде титана // Тр. XXXV семинара “Актуальные проблемы прочности”, Псков, 14–19 сент. 1999 г. СПб.: Изд-во С.-Петерб. ун-та, 1999. Ч. 1. С. 156–160.
10. **Tanaka K., Kitamura K., Miyazaki S.** Shape memory alloy preparation for multiaxial tests and identification of fundamental alloy performance // *Arch. Mech.* 1999. V. 50, N 6. P. 785–803.
11. **Попов Н. Н., Севрюгина Н. Д., Сидоркин М. Ю., Костылев И. В.** Влияние степени и скорости задания предварительной деформации на структурно-фазовые превращения в сплавах Ti–Ni–Fe // Физика процессов деформации и разрушения и прогнозирование механического поведения материалов: Тр. XXXVI Междунар. семинара “Актуальные проблемы прочности”, Витебск, Беларусь, 26–29 сент. 2000 г. Витебск: Витеб. гос. техн. ун-т, 2000. Ч. 1. С. 269–273.
12. **Мовчан А. А.** Выбор аппроксимации фазовой диаграммы и модели исчезновения кристаллов мартенсита для сплавов с памятью формы // *ПМТФ*. 1995. Т. 36, № 2. С. 173–181.
13. **Мовчан А. А.** Микромеханические определяющие уравнения для сплавов с памятью формы // Пробл. машиностроения и надежности машин. 1994. № 6. С. 47–53.
14. **Мовчан А. А.** Микромеханический подход к описанию деформации мартенситных превращений в сплавах с памятью формы // *Изв. РАН. Механика твердого тела*. 1995. № 1. С. 197–205.
15. **Лихачев В. А., Малинин В. Г.** Структурно-аналитическая теория прочности. СПб.: Наука. С.-Петерб. отд-ние, 1993.

*Поступила в редакцию 6/II 2001 г.*